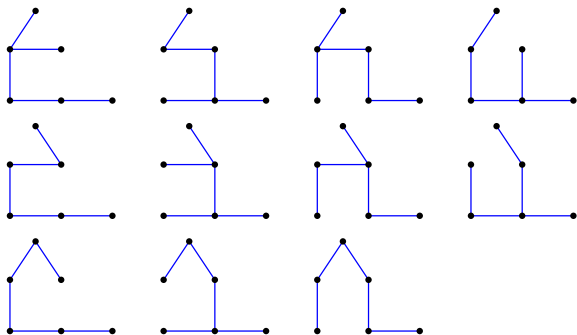
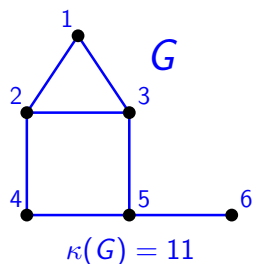


Počet koster grafu

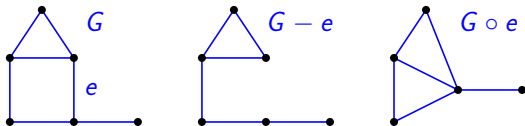
Definice: *Kostra* souvislého grafu G je jeho podgraf, který je stromem (souvislý, bez cyklů) a obsahuje všechny vrcholy G .

Počet koster grafu G se značí $\kappa(G)$.

Ukázka:



Grafové operace



Značení: Odebráním hrany e z grafu G vznikne graf $G - e$.

Pozorování: Odebráním hrany se graf může stát nesouvislý (odebráním tzv. *mostu*). Nesouvislé grafy nemají žádnou kostru.

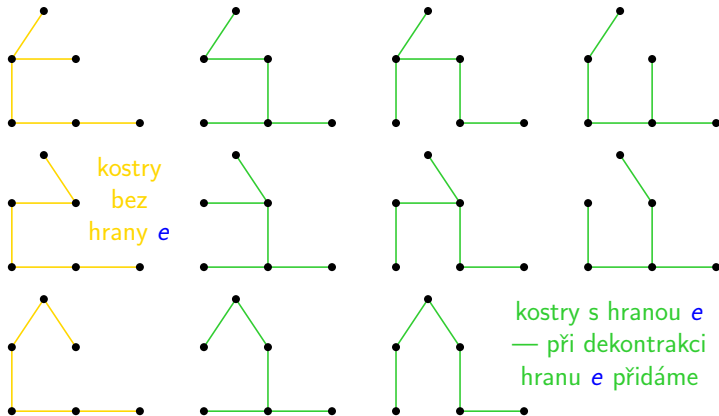
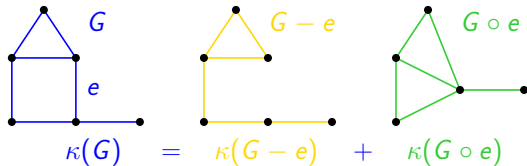
Definice: *Kontrakce* hrany $e = (u, v)$ spočívá v odebrání e a sloučení u a v do jednoho vrcholu. Ostatní hrany zůstávají.

Pozorování: Kontrakcí mohou vzniknout násobné hrany a smyčky.

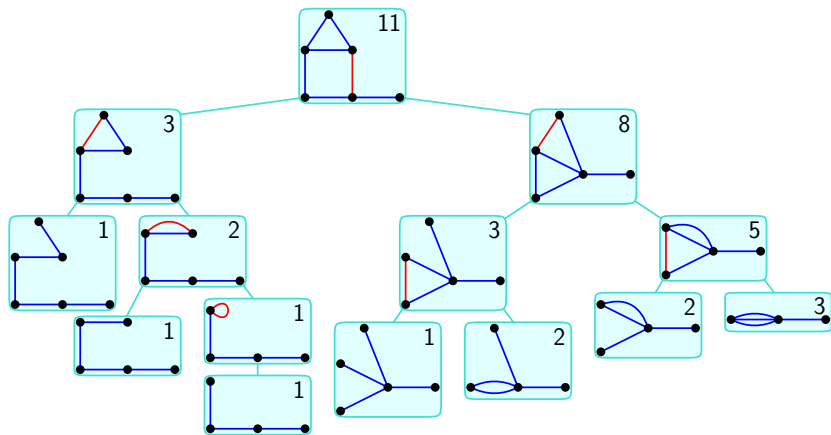
Definice: Zobecnění grafu na strukturu s násobnými hranami a smyčkami se nazývá *multigraf*. Kostry multigrafů splňují:

- ▶ Žádná kostra neobsahuje smyčku (jde o cyklus délky 1).
- ▶ Různá vlákna násobné hrany odpovídají různým kostrám.

Rekurence pro hranu (nikoli smyčku)



Část stromu stromu rekurence



↑ pro smyčce e platí: $\kappa(G) = \kappa(G - e)$

Strom rekurence může být exponenciálně velký vzhledem k velikosti původního grafu.

Determinanty — počet koster grafu

Definice: *Laplaceova matice* grafu G na $V_G = \{v_1, \dots, v_n\}$ je $L_G \in \mathbb{R}^{n \times n}$ taková, že:

$$(L_G)_{ij} = \begin{cases} \deg(v_i) & \text{pro } i = j \\ -1 & \text{jestliže } i \neq j \text{ a } (v_i, v_j) \in E_G \\ 0 & \text{jinak} \end{cases}$$

Pozorování: Laplaceova matice L_G je singulární.

Pozorování: Pokud G není souvislý, pak L_G^{11} je singulární.

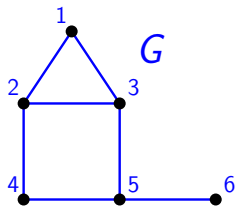
... součet řádků odpovídajících vrcholům komponenty je nulový.

Věta: Každý G na alespoň dvou vrcholech má $\det L_G^{11}$ koster.

Pozorování i věta platí také pro multigrafy, pokud:

- ▶ $-(L_G)_{ij}$ pro $i \neq j$ je *násobnost* hrany (v_i, v_j) .
- ▶ $\deg(v_i)$ zahrnuje hrany s násobnostmi, ale ne smyčky, čili pro smyčku e platí: $L_G = L_{G-e}$

Determinanty — počet koster grafu



Laplaceova matice

$$\mathbf{L}_G = \begin{pmatrix} 2 & -1 & -1 & 0 & 0 & 0 \\ -1 & 3 & -1 & -1 & 0 & 0 \\ -1 & -1 & 3 & 0 & -1 & 0 \\ 0 & -1 & 0 & 2 & -1 & 0 \\ 0 & 0 & -1 & -1 & 3 & -1 \\ 0 & 0 & 0 & 0 & -1 & 1 \end{pmatrix}$$

$$\det \mathbf{L}_G^{11} = \begin{vmatrix} 3 & -1 & -1 & 0 & 0 \\ -1 & 3 & 0 & -1 & 0 \\ -1 & 0 & 2 & -1 & 0 \\ 0 & -1 & -1 & 3 & -1 \\ 0 & 0 & 0 & -1 & 1 \end{vmatrix} = 11$$

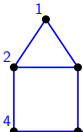
Vlastnosti det \mathbf{L}^{ij}

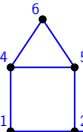
$$\begin{aligned}
 \det \mathbf{L}_G^{11} &= \begin{array}{c|ccccc|c} & 3 & -1 & -1 & 0 & 0 & \text{II} \\ & -1 & 3 & 0 & -1 & 0 & \text{III} \\ & -1 & 0 & 2 & -1 & 0 & \text{IV} \\ & 0 & -1 & -1 & 3 & -1 & \text{V} \\ & 0 & 0 & 0 & -1 & 1 & \text{VI} \end{array} & \mathbf{L}_G = \begin{pmatrix} 2 & -1 & -1 & 0 & 0 & 0 \\ -1 & 3 & -1 & -1 & 0 & 0 \\ -1 & -1 & 3 & 0 & -1 & 0 \\ 0 & -1 & 0 & 2 & -1 & 0 \\ 0 & 0 & -1 & -1 & 3 & -1 \\ 0 & 0 & 0 & 0 & -1 & 1 \end{pmatrix} \\
 &= \begin{array}{c|ccccc|c} & 1 & 1 & 0 & 0 & 0 & \text{II} + \text{III} + \text{IV} + \text{V} + \text{VI} \\ & -1 & 3 & 0 & -1 & 0 & \text{III} \\ & -1 & 0 & 2 & -1 & 0 & \text{IV} \\ & 0 & -1 & -1 & 3 & -1 & \text{V} \\ & 0 & 0 & 0 & -1 & 1 & \text{VI} \end{array} \\
 &= (-1) \cdot \begin{array}{c|ccccc|c} & -1 & -1 & 0 & 0 & 0 & \text{I} \\ & -1 & 3 & 0 & -1 & 0 & \text{III} \\ & -1 & 0 & 2 & -1 & 0 & \text{IV} \\ & 0 & -1 & -1 & 3 & -1 & \text{V} \\ & 0 & 0 & 0 & -1 & 1 & \text{VI} \end{array} = -\det \mathbf{L}_G^{21}
 \end{aligned}$$

Analogicky pro sloupcové operace dostáváme: $\det \mathbf{L}_G^{21} = -\det \mathbf{L}_G^{22}$.

Důsledek: Pro libovolné $i, j \in \{1, \dots, n\}$: $\det \mathbf{L}_G^{ij} = (-1)^{i+j} \det \mathbf{L}_G^{11}$.

Laplaceovy matice izomorfních grafů

$$L_G = \begin{pmatrix} 2 & -1 & -1 & 0 & 0 & 0 \\ -1 & 3 & -1 & -1 & 0 & 0 \\ -1 & -1 & 3 & 0 & -1 & 0 \\ 0 & -1 & 0 & 2 & -1 & 0 \\ 0 & 0 & -1 & -1 & 3 & -1 \\ 0 & 0 & 0 & 0 & -1 & 1 \end{pmatrix}$$


$$L_{G'} = \begin{pmatrix} 2 & -1 & 0 & -1 & 0 & 0 \\ -1 & 3 & -1 & 0 & -1 & 0 \\ 0 & -1 & 1 & 0 & 0 & 0 \\ -1 & 0 & 0 & 3 & -1 & -1 \\ 0 & -1 & 0 & -1 & 3 & -1 \\ 0 & 0 & 0 & -1 & -1 & 2 \end{pmatrix}$$


$\xrightarrow{\pi}$

$$\det L_G^{11} = \det L_{G'}^{66} = \det L_{G'}^{11}$$

$$\begin{vmatrix} 3 & -1 & -1 & 0 & 0 \\ -1 & 3 & 0 & -1 & 0 \\ -1 & 0 & 2 & -1 & 0 \\ 0 & -1 & -1 & 3 & -1 \\ 0 & 0 & 0 & -1 & 1 \end{vmatrix} = \begin{vmatrix} 2 & -1 & 0 & -1 & 0 \\ -1 & 3 & -1 & 0 & -1 \\ 0 & -1 & 1 & 0 & 0 \\ -1 & 0 & 0 & 3 & -1 \\ 0 & -1 & 0 & -1 & 3 \end{vmatrix} = \begin{vmatrix} 3 & -1 & 0 & -1 & 0 \\ -1 & 1 & 0 & 0 & 0 \\ 0 & 0 & 3 & -1 & -1 \\ -1 & 0 & -1 & 3 & -1 \\ 0 & 0 & -1 & -1 & 2 \end{vmatrix}$$

Matice L_G^{11} , $L_{G'}^{66}$ se liší pouze permutací *řádků a sloupců* podle π .

Toto π se aplikuje dvakrát: na řádky a na sloupce.

I když $\text{sgn}(\pi) = -1$, celkové znaménko determinantu se nezmění.

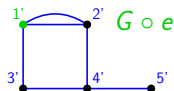
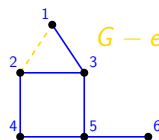
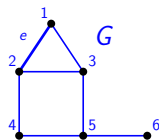
Souvislost mezi rekurencí a lineárním determinantu

$$\kappa(G) = \kappa(G - e) + \kappa(G \circ e) = \det \mathbf{L}_{G-e}^{11} + \det \mathbf{L}_{G \circ e}^{11} \stackrel{??}{=} \det \mathbf{L}_G^{11}$$

$$\mathbf{L}_G = \begin{pmatrix} 2 & -1 & -1 & 0 & 0 & 0 \\ -1 & 3 & -1 & -1 & 0 & 0 \\ -1 & -1 & 3 & 0 & -1 & 0 \\ 0 & -1 & 0 & 2 & -1 & 0 \\ 0 & 0 & -1 & -1 & 3 & -1 \\ 0 & 0 & 0 & 0 & -1 & 1 \end{pmatrix}$$

$$\mathbf{L}_{G-e} = \begin{pmatrix} 1 & 0 & -1 & 0 & 0 & 0 \\ 0 & 2 & -1 & -1 & 0 & 0 \\ -1 & -1 & 3 & 0 & -1 & 0 \\ 0 & -1 & 0 & 2 & -1 & 0 \\ 0 & 0 & -1 & -1 & 3 & -1 \\ 0 & 0 & 0 & 0 & -1 & 1 \end{pmatrix}$$

$$\mathbf{L}_{G \circ e} = \begin{pmatrix} 3 & -2 & -1 & 0 & 0 \\ -2 & 3 & 0 & -1 & 0 \\ -1 & 0 & 2 & -1 & 0 \\ 0 & -1 & -1 & 3 & -1 \\ 0 & 0 & 0 & -1 & 1 \end{pmatrix}$$



Souvislost mezi rekurencí a linearitou determinantu

$$\kappa(G) = \kappa(G - e) + \kappa(G \circ e) = \det L_{G-e}^{11} + \det L_{G \circ e}^{11} \stackrel{??}{=} \det L_G^{11}$$

$$L_G = \begin{pmatrix} 2 & -1 & -1 & 0 & 0 & 0 \\ -1 & 3 & -1 & -1 & 0 & 0 \\ -1 & -1 & 3 & 0 & -1 & 0 \\ 0 & -1 & 0 & 2 & -1 & 0 \\ 0 & 0 & -1 & -1 & 3 & -1 \\ 0 & 0 & 0 & 0 & -1 & 1 \end{pmatrix} \quad L_G^{11} = A$$

$$L_{G-e} = \begin{pmatrix} 1 & 0 & -1 & 0 & 0 & 0 \\ 0 & 2 & -1 & -1 & 0 & 0 \\ -1 & -1 & 3 & 0 & -1 & 0 \\ 0 & -1 & 0 & 2 & -1 & 0 \\ 0 & 0 & -1 & -1 & 3 & -1 \\ 0 & 0 & 0 & 0 & -1 & 1 \end{pmatrix} \quad L_{G-e}^{11} = B$$

$$L_{G \circ e} = \begin{pmatrix} 3 & -2 & -1 & 0 & 0 \\ -2 & 3 & 0 & -1 & 0 \\ -1 & 0 & 2 & -1 & 0 \\ 0 & -1 & -1 & 3 & -1 \\ 0 & 0 & 0 & -1 & 1 \end{pmatrix} \quad L_{G \circ e}^{11} = C$$

Souvislost mezi rekurencí a linearitou determinantu

$$\kappa(G) = \kappa(G - e) + \kappa(G \circ e) = \det L_{G-e}^{11} + \det L_{G \circ e}^{11} = \det L_G^{11}$$

$$\begin{aligned} \det \mathbf{A} &= \begin{vmatrix} 3 & -1 & -1 & 0 & 0 \\ -1 & 3 & 0 & -1 & 0 \\ -1 & 0 & 2 & -1 & 0 \\ 0 & -1 & -1 & 3 & -1 \\ 0 & 0 & 0 & -1 & 1 \end{vmatrix} = \begin{vmatrix} 2+1 & -1 & -1 & 0 & 0 \\ -1+0 & 3 & 0 & -1 & 0 \\ -1+0 & 0 & 2 & -1 & 0 \\ 0+0 & -1 & -1 & 3 & -1 \\ 0+0 & 0 & 0 & -1 & 1 \end{vmatrix} = \\ &= \begin{vmatrix} 2 & -1 & -1 & 0 & 0 \\ -1 & 3 & 0 & -1 & 0 \\ -1 & 0 & 2 & -1 & 0 \\ 0 & -1 & -1 & 3 & -1 \\ 0 & 0 & 0 & -1 & 1 \end{vmatrix} + \begin{vmatrix} 1 & -1 & -1 & 0 & 0 \\ 0 & 3 & 0 & -1 & 0 \\ 0 & 0 & 2 & -1 & 0 \\ 0 & -1 & -1 & 3 & -1 \\ 0 & 0 & 0 & -1 & 1 \end{vmatrix} = \\ &= \begin{vmatrix} 2 & -1 & -1 & 0 & 0 \\ -1 & 3 & 0 & -1 & 0 \\ -1 & 0 & 2 & -1 & 0 \\ 0 & -1 & -1 & 3 & -1 \\ 0 & 0 & 0 & -1 & 1 \end{vmatrix} + \begin{vmatrix} 3 & 0 & -1 & 0 \\ 0 & 2 & -1 & 0 \\ -1 & -1 & 3 & -1 \\ 0 & 0 & -1 & 1 \end{vmatrix} = \det \mathbf{B} + \det \mathbf{C} \end{aligned}$$

Důkaz věty

Věta: Každý multigraf G s $|V_G| \geq 2$ splňuje $\kappa(G) = \det L_G^{11}$.

Důkaz: Pro nespojitelné platí: $0 = 0$. Jinak indukcí podle $m = |E_G|$.
Má-li G smyčku e , pak $\kappa(G) = \kappa(G - e) = L_{G-e}^{11} = L_G^{11}$.

Základ indukce: souvislý dvouvrcholový G bez smyček splňuje:
 $\kappa(G) = |E_G| = \deg(v_2) = (L_G)_{22} = \det L_G^{11}$.

Indukční krok: Zvolme libovolnou $e \in E_G$, b.ú.n.o. $e = (v_1, v_2)$.

Označme $A = L_G^{11}$, $B = L_{G-e}^{11}$ a $C = L_{G \circ e}^{11}$.

C je podmatice L_G odpovídající v_3, \dots, v_n , tedy $C = A^{11} = B^{11}$.

Z indukčního předpokladu $\kappa(G - e) = \det B$, $\kappa(G \circ e) = \det C$.

Matice A a B jsou shodné kromě $b_{11} = a_{11} - 1$, protože vypuštěním e klesne stupeň v_2 o jedna. První sloupec A vyjádříme jako součet prvního sloupce B a vektoru e_1 ze standardní báze.

Linearitou $\det A$ podél tohoto rozkladu prvního sloupce získáme $\det A = \det B + \det C$. Nyní dokončíme:

$$\kappa(G) = \kappa(G - e) + \kappa(G \circ e) = \det L_{G-e}^{11} + \det L_{G \circ e}^{11} = \det L_G^{11}$$

Kostrý úplných grafů — Cayleyho vzorec

Věta: Úplný graf K_n má n^{n-2} koster.

Důkaz:

$$\kappa(K_n) = \det \mathbf{L}_{K_n}^{11} = \begin{vmatrix} n-1 & -1 & \dots & -1 \\ -1 & n-1 & \ddots & \vdots \\ \vdots & \ddots & \ddots & -1 \\ -1 & \dots & -1 & n-1 \end{vmatrix}$$
$$\stackrel{(1)}{=} \begin{vmatrix} n-1 & -1 & -1 & \dots & -1 \\ -n & n & 0 & \dots & 0 \\ -n & 0 & n & \ddots & \vdots \\ \vdots & \vdots & \ddots & \ddots & 0 \\ -n & 0 & \dots & 0 & n \end{vmatrix} \stackrel{(2)}{=} \begin{vmatrix} 1 & -1 & -1 & \dots & -1 \\ 0 & n & 0 & \dots & 0 \\ 0 & 0 & n & \ddots & \vdots \\ \vdots & \vdots & \ddots & \ddots & 0 \\ 0 & 0 & \dots & 0 & n \end{vmatrix} \stackrel{(3)}{=} n^{n-2}$$

- (1) odečtením prvního řádku od ostatních
- (2) přičtením ostatních sloupců k prvnímu
- (3) protože $\mathbf{L}_{K_n}^{11}$ i ostatní matice jsou řádu $n-1$

Kvíz — řešení

Je-li u některých otázek více možností správných, vyberte všechny.

1. Kolik -1 obsahuje Laplaceova matice úplného bipartitního grafu $K_{m,n}$? a) $m+n$, b) mn , c) $2mn$, d) $2mn - m - n$.
2. Rekurenci pro počet koster cyklu C_n lze interpretovat tak, že
 - a) cyklus C_n má o jednu kosteru víc než C_{n-1} ,
 - b) cyklus C_n má o jednu kosteru víc než P_{n-1} ,
 - c) cyklus C_n má tolik koster, co C_{n-1} a P_{n-1} dohromady.
3. Strom T má jednu kosteru, protože vrcholy stromu lze uspořádat tak, že matice $L_T^{1,n}$ je
 - a) jednotková I ,
 - b) opak jednotkové $-I$,
 - c) symetrická,
 - d) horní trojúhelníková s 1 na diagonále,
 - e) permutační,
 - f) horní trojúhelníková s -1 na diagonále,
 - g) nezáporná,
 - h) záporná,
 - i) matice s determinantem $(-1)^{n+1}$.
4. Pravda nebo lež? Pokud zdvojíme hrany incidentní s nějakým vrcholem v_i , vzroste počet koster na dvojnásobek, protože zdvojnásobíme i -tý řádek Laplaceovy matice.

Komentář k řešení kvízu

1. Každá z mn hran (v_i, v_j) odpovídá dvěma $-1 = l_{ij} = l_{ji}$.
2. Vztah je: $\kappa(C_n) = \kappa(C_n - e) + \kappa(C_n \circ e) = \kappa(P_n) + \kappa(C_{n-1})$,
přičemž $\kappa(P_n) = 1$ a $\kappa(C_{n-1}) = n - 1$.
3. Pro hvězdu $K_{1,3}$ platí, že $L_{K_{1,3}}^{1,n}$ je jedna z matic:
$$\begin{pmatrix} -1 & 1 & 0 \\ -1 & 0 & 1 \\ -1 & 0 & 0 \end{pmatrix}, \begin{pmatrix} -1 & 3 & -1 \\ 0 & -1 & 1 \\ 0 & -1 & 0 \end{pmatrix}, \begin{pmatrix} 0 & 1 & -1 \\ -1 & -1 & 3 \\ 0 & 0 & -1 \end{pmatrix} \text{ a } \begin{pmatrix} 0 & 1 & 0 \\ 0 & 0 & 1 \\ -1 & -1 & -1 \end{pmatrix},$$
což vylučuje případy a–h). Příklad i) plyne z pravidla o $\det L^{i,j}$.
4. Např. zdvojením hran u prostředního vrcholu cesty P_3 dostaneme 4 kostry a ne jen 2.
Ve skutečnosti v L_G zdvojnásobíme i ostatní prvky v i -tém sloupci a zvýšíme některé prvky na diagonále.

Otázky k porozumění tématu přednášky

- ▶ Jakým způsobem by bylo potřeba upravit výpočet a důkaz pro určení počtu koster nesouvislého grafu?
(Kostrou zde rozumíme maximální podgraf na všech vrcholech grafu, takový, že nemá žádné cykly.)
- ▶ Jak se změní rekurence, matice a důkaz v případě, kdy je za hranu e vybrána smyčka?
- ▶ Jak vypadají Laplaceovy matice grafů s mosty a artikulacemi?
- ▶ Proč je v důkazu využita indukce podle počtu hran a ne podle počtu vrcholů?

Poznámky k pojmosloví a značení

Laplaceova matice bývá také někdy nazývána Kirchhoffova matice. Je diskrétní verzí tzv. *Laplaceova operátoru* nazvaného po francouzském matematiku P.-S. de Laplaceovi, který jej použil při studiu nebeské mechaniky.

Laplaceovy matice souvisejí s *algebraickou souvislostí grafu*, objevenou v roce 1973 českým matematikem Miroslavem Fiedlerem (1926–2015).

Cayleyho vzorec byl objeven Carlem Wilhelmem Borchardtem (1817–1880) v roce 1860 a byl dokázán pomocí determinantu.

V krátké poznámce z roku 1889 Arthur Cayley (1821–1895) vzorec rozšířil v několika směrech. I když se Cayley odvolával na Borchardtův článek, vzorec už zůstal pojmenován po něm.



Pierre-Simon
de Laplace
(1749–1827)